

МОСКОВСКИЙ АВИАЦИОННЫЙ ИНСТИТУТ
(НАЦИОНАЛЬНЫЙ ИССЛЕДОВАТЕЛЬСКИЙ УНИВЕРСИТЕТ)
Институт №8 «Информационные технологии и прикладная математика»
Кафедра 806 «Вычислительная математика и программирование»

Лабораторные работы
по курсу «Методы, средства и технологии мультимедиа»

Выполнила: Алексюнина Ю.В.

Группа: М8О-407

Преподаватель: А.В. Крапивенко

Москва, 2020

Апробация пакета 3D Studio MAX

1. Цели

Ознакомление с основными возможностями пакета 3Ds MAX (или аналогичного, по своему усмотрению), создание геометрических примитивов, изучение методов редактирования объектов, создание и модификация физических свойств материалов, установка камер и источников света, визуализация сцены.

2. Задание

Смоделировать текстурированный 3D объект корпусной мебели, на смоделированном объекте расположить самостоятельно сконструированное тело вращения, предусмотреть его прозрачность и тени. Поместить сцену в замкнутое пространство (например, комнату), добавить несколько произвольных предметов обстановки. Произвести рендеринг с учетом отражений. При этом точку обзора камеры необходимо композиционно выбирать так, чтобы все требования к объектам сцены были видны сразу, на одном изображении в приемлемом масштабе.

3. ПО

3ds MAX 2016

4. Теория

3D-моделирование.

Моделирование 3D-сцен(способы):

1. Полигональный(триангулярный) – аппроксимация треугольниками(3D)/полигонами(2D) – самый простой и емкий
2. Функционально-параметрический – если моделируются гладкие поверхности – применяется технология сплайнов
3. Воксельный(метод объемного пикселя) – кубики(по аналогии с треугольниками) – могут содержать объем/вес – быстро рендерится.

Типы моделирования:

1. Каркасное – описываются только контуры объекта без плоскостей, моделирование самого низкого уровня, описывается в терминах точек и линий.

2. Поверхностное – описываются только снаружи – с помощью линий/точек/поверхностей – наиболее популярно.
3. Твёрдотельное – описывает и внутреннее тоже – обеспечивает полное однозначное описание трехмерной геометрической формы – с помощью него м.создать дырку в кубике.

Примитивы в полигональном способе:

- Луч
- Прямая
- Точка
- Вектор
- Плоскость

С их помощью можно задать полигональную сетку.

Функционально-параметрический способ(сплайны):

Сплайн – гибкий график; интерполяционный кубический сплайн – функция $S(x)$, обладает следующими свойствами:

1. График этой функции проходит через каждую точку заданного массива: $S(x_i)=y_i, i=0..m$
2. На каждом из отрезков $[x_i, x_{i+1}]$, $i=0..m-1$ функция является многочленом 3-ей степени, $S(x)=\sum a_j^i (x-x_i)^j, j = 0..3$
3. На всем отрезке задания $[x_0, x_m]$ функция $S(x)$ имеет непрерывную вторую производную.

Но чаще используются параметрически заданные кривые.

Параметрически заданная кривая – мн-во Υ точек $M(x,y,z)$, координаты которых определяются соотношениями(параметрическими уравнениями кривой Υ): $x=x(t); y=y(t); z=z(t); 0 \leq t \leq b$, где $x(t), y(t), z(t)$ – функции, непрерывные на отрезке $[a;b]$.

Также существует кривая Безье, определяемая массивом $V(V_1V_2V_m - \text{дуги кривой})$ – кривая, определяемая след. векторным уравнением:

$$r(t) = \sum_{i=0}^m C_m^i t^i (1-t)^{m-i} V_i, 0 \leq t \leq 1, \text{ где}$$

$$C_m^i = \frac{m!}{i! (m-i)!} - \text{коэф. в разложении бинома Ньютона.}$$

При $m=3$ – кубическая кривая Безье.

Для 3D-моделирование используется аналог кривой Безье – B-Spline.

B-Spline кривая (для V_0, V_1, V_2, V_3) определяется следующим векторным параметрическим уравнением:

$$r(t) = \frac{(1-t)^3}{6} V_0 + \frac{3t^3 - 6t^2 + 4}{6} V_1 + \frac{-3t^3 + 3t^2 + 3t + 1}{6} V_2 + \frac{t^3}{6} V_3, \\ 0 \leq t \leq 1$$

У B-Spline есть надстройка NURBS – рациональные B-Spline, задаваемые на неравномерной сетке.

Плюсы:

- Можно управлять детализацией
- Пересчету будут подлежать только ближайшие точки (при редактировании)
- Легко оценить точность и стабильность алгоритма

Компоненты NURBS-кривой:

1. Начало кривой
2. Направление кривой
3. Интервал
4. Точки редактирования
5. Управл.вершина
6. Каркас
7. Конец кривой

Одна поверхность или кривая не могут одновременно управлять и точками, и вершинами, но внутри одного объекта NURBS могут содержаться и Point, и CV.

Типы описания NURBS-кривых и –поверхностей:

1. Point
2. CV(Control Vertex)

Разница – в способе управления: Point управляется точками на самом объекте (объект проходит через эти точки), CV управляется вершинами, расположенными вне объекта и связанными между собой линиями.

NURBS-кривая $C(u)$ является векторной кусочно-непрерывной рациональной полиномиальной функцией и определяется как

$$C(u) = \frac{\sum_{i=0}^n w_i P_i N_{i,k}(u)}{\sum_{i=0}^n w_i N_{i,k}(u)}, \text{ где } w_i \text{ – вес, } P_i \text{ – управл.вектор, } N_{i,k} \text{ –}$$

нормир.базисные B-Spline функций с шагом k

Чем больше w_i , тем ближе к ней проходит NURBS-кривая.

Этапы подготовки сцены:

1. Геометрическое моделирование сцены. Создание объектов, их пространственная привязка.
2. Топологическая привязка объектов. Создание кинематической схемы, определение изменения характеристик объектов с течением времени для анимации.
3. Задание физических свойств объектов. Наложение текстур, задание отражения, прозрачности и других свойств.
4. Определение физических свойств среды. Настройка атмосферных и гравитационных эффектов.
5. Расстановка источников света. Выбор точек наблюдения, установка камер.
6. Выбор модели освещения. Рендеринг.

Рассмотрим подробнее каждый из этапов.

1 – осуществляется с помощью примитивов:

сплайновое/полигональное(точки, линии, плоскости)/воксельное; делаем каркас.

2 – привязка объектов к геолокации, задание отношений объектов между собой, прописывание анимации.

Инверсная кинематика – когда выставляется общая топология объекта, прописывая для каждой части степени свободы (в каких плоскостях м.перемещать), потом просто можно потянуть за одну часть, и программа автоматически пропишет движение остальных присоединенных.

Определение изменения характеристик объектов с течением времени:

- 1) Риггинг – задание скелета 3D-модели – задание углов и степеней свободы для каждой части.
- 2) Скиннинг – создание кожи – созданный риг обшивается поверхностью. Можно до скиннинга сделать мышцы.
- 3) Хайринг – процесс обтягивания растительностью. Траектория волос – сложная.
- 4) Создание одежды

3 – С помощью текстур – определяется прозрачность, отражение, шероховатость и т.д.; физ.характеристики: вес, плотность – нужно для моделирования физических процессов(например, прыгает мяч)

Текстуры:

А) Проективные – берется растровая маска(картинка) и определенным способом проецируется на поверхность объекта.

Способы проецирования:

- Стандартные:
 - I. Плоское – взяли плоскую поверхность и параллельно наклеили другую.
 - II. Цилиндрическое – в цилиндрических координатах.
 - III. Сферическое – для круглого, переход к сферическим координатам.
- Дополнительные:
 - IV. UV Mapping – сложный способ; привязывается поточечно: берутся текстуры и привязываются к контрольным точкам, каким образом должно быть изменено правило проецирование текстуры на объекте.
 - V. UC Mapping

Б) Процедурные – задается некая функция, которая занимается отрисовкой в зависимости от координат пикселя.

Создаем функцию, которая определяется каким-либо законом, в который входит некоторая периодическая функция. Чтобы результат не получился слишком правильным, моделируем с помощью шумовой функции, на которую накладываются следующие требования:

- 1) Непрерывность
- 2) Принимает значения из $[0;1]$
- 3) Ведет себя аналогично равномерно распределенной случайной величине.

С помощью этого способа моделируется то, где нужен быстрый рендеринг и минимум подкачки.

4 – Определение физических свойств среды - аналогично с 3, но для среды (туман, вода), необходимо задать коэффициенты преломления.

Настройка атмосферных и гравитационных эффектов – Particle Effects – техника, которая управляет поведением частиц и позволяет моделировать

различные сложные эффекты(взрыв, снег, дождь), разлетание по определенным законам. Чтобы это работало, задается поверхность, из которой вылетают частицы, и правила для нее. Может использоваться в фильмах для массовки.

5 – Источники света:

А) Spot(лампа) – конус света из определенной точки

Б) Free – направленный поток параллельный лучей

В) Omni – точечный источник, излучающий равномерно во все стороны

Характеристики источников света:

- Цвет(текстура)
- Яркость
- Объекты, которые им (не) освещаются
- Тени и т.д.

Расстановка камер определяется фокусное расстояние, угол обзора, эффект боке – размытие(чтобы не вся сцена была резкой, а выглядела более естественно).

6 –

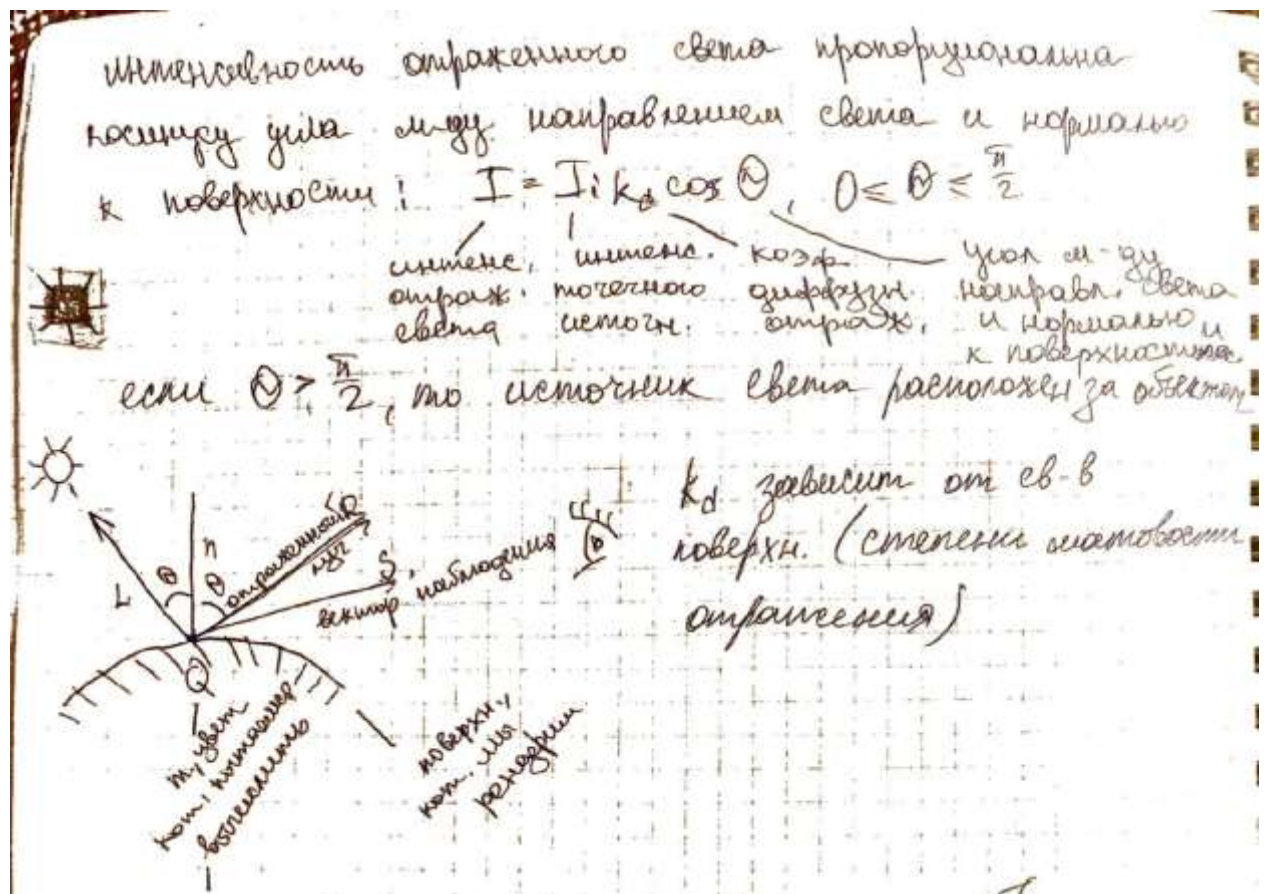
Чтобы получить отраженный луч, нужно уметь его моделировать, в том числе, там, где отсутствует производная (на углах) – провести вектор нормали с помощью векторно-скалярного произведения/сложения с нормалью соседних граней.

Простая модель освещения:

Отраженный свет:

А) Зеркальный – отражается сразу от внешней поверхности объекта; положение наблюдателя важно

Б) Диффузный(матовый) – рассеивается равномерно по всем направлениям – свет точечного источника отражается от идеального рассеивателя по з.косинусов Ламберта:



Для вычисления: из т. Q строим обратным ходом вектор к источнику определяем расстояние L между источником и точкой Q (это важно для вычисления затухания света), строим нормаль n , отражающий луч R , учитываем вектор наблюдения S (для зеркальной составляющей).

Если использовать только з. Ламберта, то все будет блеклым (матовым), нужно добавить внешнюю освещенность (рассеянный свет), тогда

$$I = I_a k_a + I_i k_d \cos \theta, \text{ где } I_a - \text{интенсивность рассеянного света, } k_a - \text{коэффициент диффузного отражения рассеянного света}$$

Также нужно учесть расстояние до источника света:

$$I = I_a k_a + \frac{(I_i k_d \cos \theta)}{d + k}, \text{ где } k - \text{константа,}$$

d — расстояние от центра проекции до объекта

Добавляем зеркальную составляющую, она в общем случае зависит нелинейно от угла падения/длины волны/свойств вещества.

В простой модели освещения пользуются эмпирической моделью Фонга:

$$I_s = I_i \omega(i, \lambda) \cos^n \alpha$$

I_i — интенсивность источника
 $\omega(i, \lambda)$ — коэффициент отражения, зависящий от угла падения i и длины волны λ
 $\cos^n \alpha$ — косинус в степени n , где α — угол наблюдения

В итоге, получаем:

$$I = I_a k_a + \frac{I_i}{d + k} (k_d \cos \theta + k_s \cos^n \alpha)$$

$I_a k_a$ — рассеянный свет
 $\frac{I_i}{d + k}$ — коэффициент, зависящий от расстояния d и параметра k
 $k_d \cos \theta$ — диффузное отражение
 $k_s \cos^n \alpha$ — зеркальное отражение

Если есть несколько источников света, то их эффекты суммируются:

$$I = I_a k_a + \sum_{j=1}^m \frac{I_{ij}}{d_j + k} (k_{dj} \cos \theta_j + k_{sj} \cos^n \alpha_j)$$

m — кол-во источников

каж-во не очень, т.к. не учит. прозрачность, св-ва преломления, а в-в светимости и т.д., но тем не менее явл. простой и быстрой и широко используется.

Методы рендеринга:

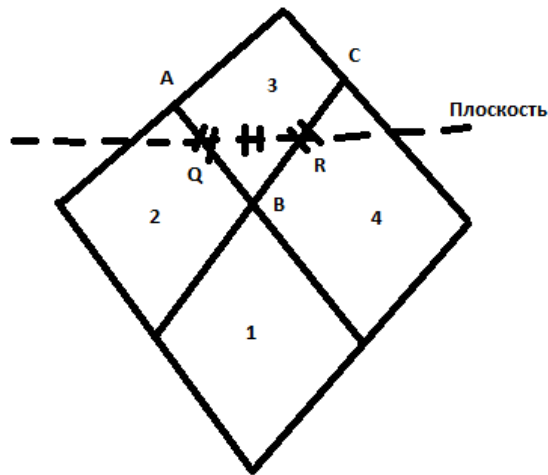
Закраска (наиболее быстрые):

- I. Сканирующая плоскость, метод Гуро
- II. Интерполяция вектора нормали, метод Фонга
- III. Глобальная модель освещенности Уиттеда

Более реалистичные, но сложные:

- IV. Прямая/обратная трассировка лучей
- V. Метод излучательности

I, II – используется принцип секущей плоскости: берем экран и по нему пускается секущая плоскость сверху вниз и слева направо. Плоскость перпендикулярна поверхности экрана, и она пронизывает все объекты перпендикулярно, в глубину. Простыми алгоритмами (Z-буфер) определяется видимость объектов относительно наблюдателя и определяет, какие конкретно фрагменты объекта нужно визуализировать. Для ускорения процесса не будем прогонять через формулу простой освещенности каждый пиксель, применим интерполяцию.



Чтобы посчитать цвет точки P, сначала посчитаем цвет A и B, B и C; потом, относительно плоскости мы интерполируем цвета точек A и B в точку Q и цвета B и C в точку R. Такой же интерполяцией относительно Q и R получаем цвет в точке P.

Для I:

$$I_Q = u * I_A + (1 - u)I_B, 0 \leq u \leq 1, u = \frac{AQ \text{ (расстояние)}}{AB}$$

$$I_R = w * I_B + (1 - w)I_C, 0 \leq w \leq 1, w = \frac{BR \text{ (расстояние)}}{BC} \Rightarrow$$

$$I_P = t * I_Q + (1 - t)I_R, 0 \leq t \leq 1, t = \frac{QP \text{ (расстояние)}}{QR}$$

Вычисляются нормали только для A, B, C, используя формулу простой освещенности.

Для II: подход такой же, но интерполируется не значение интенсивности, а вычисленный вектор нормали.

I хорош для диффузных отражений, II – для зеркальных.

В II зеркальное отражение лучше, так как нормали имеют своё истинное направление, на стыках нет разрывов.

III – учитывает отражения других объектов и учитывает прозрачность – возможность преломления поверхности.

IV – основана на идее отслеживания каждого луча, который попадает к наблюдателю.

Способы отслеживания:

А) Прямая трассировка – отслеживаем каждый луч, выпущенный из источника света, и ведем его к наблюдателю до тех пор, пока он попадет (или не попадет). Данный способ на практике практически не используется для рендеринга, так как почти все лучи растворяются в пространстве, не попадая.

Б) Обратная трассировка – смотрим со стороны наблюдателя и, сквозь поверхность экрана, пускаем обратные лучи, перпендикулярные экрану, сквозь каждый пиксель рендера, след-но, кол-во лучей равно кол-ву пикселей изображения; каждый луч отслеживается до пересечения с каким-либо объектом сцены; если он не пересекается, то отслеживание прекращается; если столкнулся с объектом, то из точки столкновения испускается минимум 3 луча: отраженный, преломленный(если объект полупрозрачный), лучи к источнику света(смотря, сколько источников света). Затем аналогично повторяем процедуру заново – рекурсивно отслеживаем все лучи до определенного момента(выход из рекурсии). Выход из рекурсии осуществляется в двух случаях: по глубине рекурсии(кол-во итераций) и по затуханию луча(интенсивность ниже заданного порога).

Этот способ дает реалистичное отображение всех объектов на сцене 1 в 1.

В трассировке применяются методы оптимизации:

- Отсечение по глубине
- Отсечение по весу
- Метод Монте-Карло – для борьбы с лестничными эффектами
- Копирование объектов
- Метод описания ограничивающих фигур – вокруг сложных объектов описываем простую выпуклую фигуру и сначала проверяем пересечение лучей с ним – если не пересекается, то дальше не идем; м.описать дерево огранич.фигур.

- Метод равномерного разбиения пространства – само пространство сцены «нарезается» на кубики и запоминается, внутри каких кубиков есть что-то, а в каких нет; потом проверяем прохождение луча через эти кубики – если луч проходит только через пустые, дальше его не рассматриваем.

Недостаток IV: Если камера чуть сместилась в следующем кадре, все нужно считать заново.

В 3Ds стоит авторский метод рендеринга, который использует идеи метода трассировки лучей.

V – обеспечивает и высокую точность при работе с диффузными объектами, и отдельное вычисление глобальной освещенности независимо от положения наблюдателя.

В основе – лежит закон сохранения энергии в замкнутой системе. Сцена – замкнутая система, в которой должны сохраняться уравнения баланса энергии:

$$B_i = E_i + p_i \sum_{j=1}^n F_{ij} B_j, \quad i = 1..n$$

B_i – энергия, отбрасываемая i – тым фрагментом сцены

n – количество фрагментов, на которые разбита сцена

E_i – собственная излучательность фрагмента

F_{ij} – доля энергии j – того фрагмента, попад. на i – тый фрагмент

p_i – коэффициент отражения

В результате получаем СЛАУ, решив которую, посчитаем точно энергию(светимость каждого фрагмента).

Наиболее сложно вычислить F_{ij} : Выберем фрагменты A_i, A_j и элементарные участки dA_i, dA_j с нормальными n_i, n_j , тогда доля энергии элемента dA_j , попадающего на элемент A_i :

$$F(dA_i, dA_j) = \frac{\cos \varphi_i \cos \varphi_j}{\pi r^2} \text{ или } F(A_i, A_j) = \frac{1}{A_i} \iint_{A_i A_j} \frac{\cos \varphi_i \cos \varphi_j}{\pi r^2} dA_i dA_j$$

5. Ход выполнения

Сначала я создала Box-ы и Cone-ы, и с помощью них сконструировала шкаф с будущим зеркалом. Потом создала тело вращения (форму для шарлотки) с помощью Spline-а и модификатора Lathe, который придает форму объекту. Также создала комод с еще одним зеркалом, добавила пару объектов из примитивов и создала из них юлу и заготовку для плюшевого авокадо. После этого попробовала выставить освещение, с помощью таргетированного света и точечного источника света(фонового), поставила тени.

Создала пол, к которому позже добавились потолок и стены, чтобы созданные объекты не были просто в пустоте.

Затем училась работать с материалами в Material Editor-e: искала и загружала необходимые текстуры, которые придумывала по ходу выполнения задания, корректировала уровень отражения.

У некоторых объектов пришлось изменить положение материала, чтобы они надлежащим образом выглядели на объектах; для этого я использовала Gizmo в модификаторе UVWMap. Самым сложным для изменения оказался материал для авокадо, поскольку я не рисовала текстуру сама, а взяла готовую из интернета. В итоге, у меня получился двуликий авокадо.

После этого нужно было заняться зеркалами и создать материал для них. В перечне стандартных материалов выбрала Raytrace и в графе отражения поставила белый цвет, который дает полное отражение.

В моей комнате в реальности на стенах висит много картинок, фотографий и рисунков, поэтому я решила добавить немного забавных картинок на одну из стен с помощью тех же Box-ов и наложения материалов.

6. Результат



И еще немного скриншотов...





7. Вывод

3Ds Max имеет широкие возможности для создания различных типов объектов, от самых простых до самых сложных. Данная лабораторная работа помогла мне познакомиться с основами 3D-моделирования и получить некоторый опыт. Она интересна тем, что, помимо именно обучения 3D-моделированию, позволяет проявить творческие способности, поскольку нет конкретного ТЗ, есть лишь аспекты, которые обязательно должны быть, а остальное – на выбор исполнителя.

Моделирование виртуальных миров в программах

«Internet Space Builder» и «Unity 3D»

1. Цели

Создание виртуальной трёхмерной обстановки для работы с ней через сеть Internet. Знакомство и экспорт в формат VRML 97. Знакомство с Unity.

2. Задание

Импортировать результаты работы ЛР №1 в среды ISB и Unity. Проверить соответствие цветов и текстур. Добавить к телу вращения два любых вида произвольной интерактивности и проверить результаты работы с помощью plug-in'ов к веб-браузерам.

В выводах описать сравнительные преимущества каждой из исследуемых программных сред.

3. ПО

ISB 3.0, Cortona VRML Client, Unity 5.6.4f1

4. Теория

Система виртуальной реальности – комплекс программно-аппаратных средств, создающих эффект погружения пользователя в искусственно созданную трехмерную среду. Максимальный эффект достигается при возможности интерактивного взаимодействия пользователя с окружающей виртуальной средой.

Области использования VR-технологий: визуализация, моделирование, навигация, развлечения, игры.

Одной из наиболее популярных областей применения, помимо игровых виртуальных сред, являются интерактивные WEB-приложения:

- Виртуальные руководства пользователя с 3D-разделами
- Конструкторские и инженерные приложения со сложным моделированием
- Курсы дистанционного обучения
- Сценарное 3D-моделирование событий
- Виртуальные экскурсии по городам, музеям, замкам
- Дизайн внутренних интерьеров и тд

Для создания виртуальных средств в среде Internet используется широкий спектр программных средств:

1. Панорамные видеотехнологии – создают виртуальную среду, в которой угол обзора составляет 360 градусов за счет склейки отдельных изображений в круговую панораму. Для получения качественных изображений требуется специальный круговой штатив с автоматизацией шага съемки или вращающаяся панорамная камера. Чтобы можно было рассматривать конкретные объекты с любой степенью детализации и с любого угла, они фотографируются или рендерятся отдельно и компонуется с общей панорамой.
2. VRML – язык моделирования виртуальной реальности, описания трехмерных сцен, в котором определены иерархические преобразования, источники света, возможность произвольной смены точки наблюдения, геометрические тела, анимация, различные свойства материалов и атмосферных сред.

Он обеспечивает технологию для интеграции двумерных и трехмерных объектов текста и мультимедийных данных в единой согласованной модели виртуального мира.

Среди объектов VRML-графики есть аватар – анимированный объект, часто с человеческими чертами, с которым можно взаимодействовать и который может управлять как пользователем, так и компьютером.

Средства работы с VRML-сценами:

1. Трехмерные среды для создания VRML-сцен (ISB)
2. Средства визуализации VRML-сцен (Cortona, CosmoPlayer): работает в соответствии с установками конкретного web-сервера. Клиентский браузер посылает запросы на web-сервер, который должен вернуть запрошенный документ в формате стандарта MIME. Браузер анализирует эту информацию и с помощью плагинов воспроизводит VRML-сцены.
3. Прямое текстовое кодирование на языке VRML:
Файл VRML состоит из следующей послед-ти функциональных блоков: заголовок, описания прототипов, описания трехмерной сцены, маршрутов событий. Каждая строка, начинающаяся со знака «#», считается комментарием, кроме заголовка файла. После заголовка идут описания трехмерных объектов, их параметров и свойств, а также события и их обработчики для создания динамики в виртуальном мире.

Основные понятия языка:

1. Имена – регистро-зависимые, не кириллица, не управляющие символы от 0 до 32, без синтаксических символов, без цифр в начале.
2. Узлы – все трехмерные тела и любые мультимедийные сообщения(весь трехмерный мир представляет собой дерево объектов)

Типы:

А) группировочные – объединение вложенных узлов в ветви «дерева сцены» - родители

Б) конечные - определяют конкретные геометрические примитивы, звуки, видео, камеры; не могут иметь вложенных узлов-детей, кроме вспомогательных

В) вспомогательные – специфические узлы, располагающиеся только в определенных узлах: сенсоры, узлы-интерполяторы, которые меняют объекты сцены в соответствии с заданным набором опорных точек, и некоторые другие.

3. Поля и события.

Поля – уникальные параметры, отличающие данный объект от других аналогичных, каждое поле имеет свой тип и значение по умолчанию.

События – средства обмена инф-цией между узлами; входящие и исходящие события.

В VRML определены следующие примитивы: куб, сфера, цилиндр, конус. Цвет фигуры определяется с помощью объекта Material, либо <Texture2>(текстура).

По умолчанию любой описанный объект будет располагаться точно по центру окна браузера, поэтому, если описать два одинаковых цилиндра, то они сольются друг с другом. Поэтому нужно поменять координаты второго цилиндра с помощью узла **Translation**(определяет координаты объекта) Узлы, модифицирующие св-ва фигур, действуют на все фигуры. Чтобы ограничить область их действия, фигуры необходимо сгруппировать с помощью узла **Separator**

Rotation – вращение фигур вокруг осей координат

Scale – масштаб по x,y,z

Anchor – возможность перемещения между виртуальными мирами или переход по гиперссылке

Сенсоры окружающей среды – контролируют течение процессов в окружающей среде(течение времени и расположение пользователя):

- Сенсор времени – не имеет конкретной позиции в виртуальном мире и ассоциированных с ним геометрических объектов; может использоваться для порождения событий или управления узлами-интерполяторами
- Сенсор видимости – представляет собой некоторый параллелепипед, генерирующий события, когда он попадет в/выходит из поля зрения пользователя, по которым можно точно определить время и характер произошедшего
- Сенсор приближения – похож на сенсор видимости, но также отслеживает перемещения внутри параллелепипеда и генерирует сообщения при изменении позиции/ориентации пользователя
- Сенсор коллизий – включение/выключение распознавания коллизий(столкновений) между потомками этого узла и пользователем

Узлы-манипуляторы:

- Датчик касания – реагирует на взаимодействие курсора мыши с геометрическими объектами – потомками своего родительского узла.

Датчики буксировки:

- Сферический сенсор – вращение объекта вокруг центральной точки самого сенсора
- Цилиндрический сенсор – вращение только вокруг одной оси
- Плоский сенсор – перемещение вдоль осей X и Y в локальной системе координат

Unity3d - это очень гибкий мультиплатформенный движок, предоставляющий большую свободу действий пользователю и работающий под различными операционными системами. Возможность импортирования моделей напрямую из 3d редактора, является одной из самых главных. В Unity3d чаще всего создаются компьютерные игры.

5. Ход выполнения

Работа с Unity. Экспортируем из 3Ds max комнату(при экспорте в *.fbx) указываем AxisConversion: Z-up – нужно, так как Unity использует систему координат с осью Y, направленной вверх.

Затем импортируем ее в Unity. Подгружаем заново все материалы (важно, чтобы они не были с одинаковыми именами). Возникла проблема с материалом зеркала, поскольку его невозможно было экспортировать из 3Ds max корректно, и я попыталась написать скрипт для отражения. К сожалению, он работает не полностью.

Необходимо взаимодействие с предметами сцены. Для этого воспользуемся FPSController(управление персонажем от первого лица) из StandartAssets(они скачиваются и импортируются из AssetStore).

Нужно добавить несколько видов произвольной интерактивности, и для этого были выбраны следующие предметы: дверца шкафа (открывается/закрывается со звуком), миска (падает со звуком), юла (начинает покачиваться со звуком). Все взаимодействия осуществляются по клику.

Для каждого из предметов, а также для FPSController был написан C#-скрипт с последовательностями действий в каждый момент времени.

Основная сложность заключалась в прописывании определенных параметров при написании скриптов (подбор угла/расстояния).

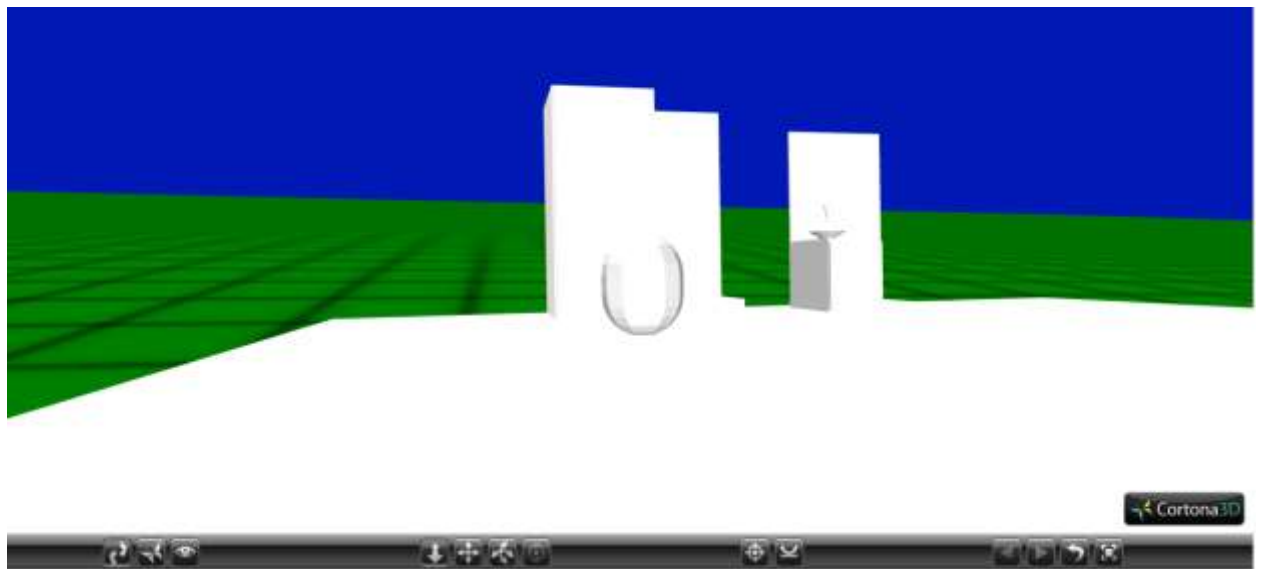
После того, как в режиме Game все взаимодействия начали работать корректно, установила Unity WebGL для работы проекта в браузере. К сожалению, современные версии Google Chrome/Mozilla Firefox не поддерживают данный плагин из соображений безопасности, если его запускать с компьютера, отдельно собрав и сохранив перед этим. Но если нажать кнопку «Build and Run», то запустится небольшой локальный веб-сервер, через который страница загрузится.

Далее, я перешла к работе с программами Internet Space Builder 3.0 и Cortona VRML Client. Но сначала вернулась к проекту комнаты в 3Ds max и ре-экспортировала его в другой формат файла, так как оказалось, что ISB воспринимает на импорт только файлы формата *.3ds. При импорте сцены я обнаружила, что она слишком большая по некоторым критериям для урезанной версии программы. А поскольку полную версию программы было найти практически невозможно, пришлось перетащить все примитивы отдельно на сцену в ISB(как самостоятельные объекты), а затем удалять по одному объекту до тех пор, пока кнопка сохранения не стала «Enabled». Также, даже при исходном импорте перенеслись не все объекты, небольшая часть из них пропала. Когда, наконец, у меня появилась возможность сохранения сцены, нужно было сделать 2 вида произвольной

интерактивности. В данном проекте – при нажатии на предполагаемое авокадо издается звук, а при клике на юлу – переход по ссылке. После завершения работы с ISB была установлена Cortona VRML Client в качестве плагина для браузера. Примечательно, что данная программа «заставила» мой ноутбук «вспомнить» о существовании Internet Explorer, поскольку только в нем она может работать корректно, не применяя лишних усилий к ее установке.

6. Результат

Для ISB 3.0 & Cortona VRML Client:



Для Unity3D & Unity WebGL:



7. Вывод

Если сравнивать Unity3D и ISB, то, на самом деле, их довольно сложно сравнивать, поскольку ISB 3.0 – ПО, выпущенное относительно давно и имеющее куда меньший функционал, чем Unity. Конечно же, Unity абсолютно превосходит ISB при выполнении данной работы, кроме, разве что, одного пункта: для добавления интерактивности в ISB потребовалось куда меньше времени и усилий, чем в Unity. В остальном же Unity – явный лидер в этой «гонке».

Множества Жюлиа и Мандельброта

1. Цели

Изучить процесс построения алгебраических фракталов и результаты их визуализации.

2. Задание

1. В среде программы FractInt рассмотреть классическую формулу $z(n+1)=z(n)^2+c$ (mandel). Увеличить масштаб, с помощью правой клавиши мыши изучить вид соответствующих множеств Жюлиа. В отчете привести пример связного множества Жюлиа, Канторовой пыли.

В качестве параметров формулы mandel задать:

- для группы 08-406: Real Perturbation of $Z(0) = 0.05 \cdot n$
- для группы 08-407: Imaginary Perturbation of $Z(0) = 0.05 \cdot n$
- для группы 08-408: Real Perturbation of $Z(0)$ и Imaginary Perturbation of $Z(0) = 0.05 \cdot n$

где n – порядковый номер по списку.

Индивидуальное задание: Imaginary Perturbation of $Z(0) = 0.05$

2. Подобрать для формулы удобный вид с помощью клавиш позиционирования <PgUp> и <PgDown>, клавиш палитры <+> и <->; привести изображение в отчете.

3. Рассчитать неподвижную траекторию, привести пример точки, для которой последовательность будет ограничена.

3. ПО

FractInt, запускаемый из эмулятора DOS “DOSBox”.

4. Теория

Идея, использованная Мандельбротом, состояла в том, чтобы вместо действительных чисел рассмотреть комплексные и наблюдать процесс $z_0 \rightarrow z_1 \rightarrow z_2 \rightarrow \dots$ не на прямой, а в плоскости. Процесс Мандельброта основан на простой формуле

$$z_{n+1} = f(z_n) = z_n^2 + c$$

Множество Мандельброта M для полинома $f_c(z) = z^2 + c$ определяется как множество всех $c \in \mathbb{C}$, для которых орбита точки 0 ограничена:

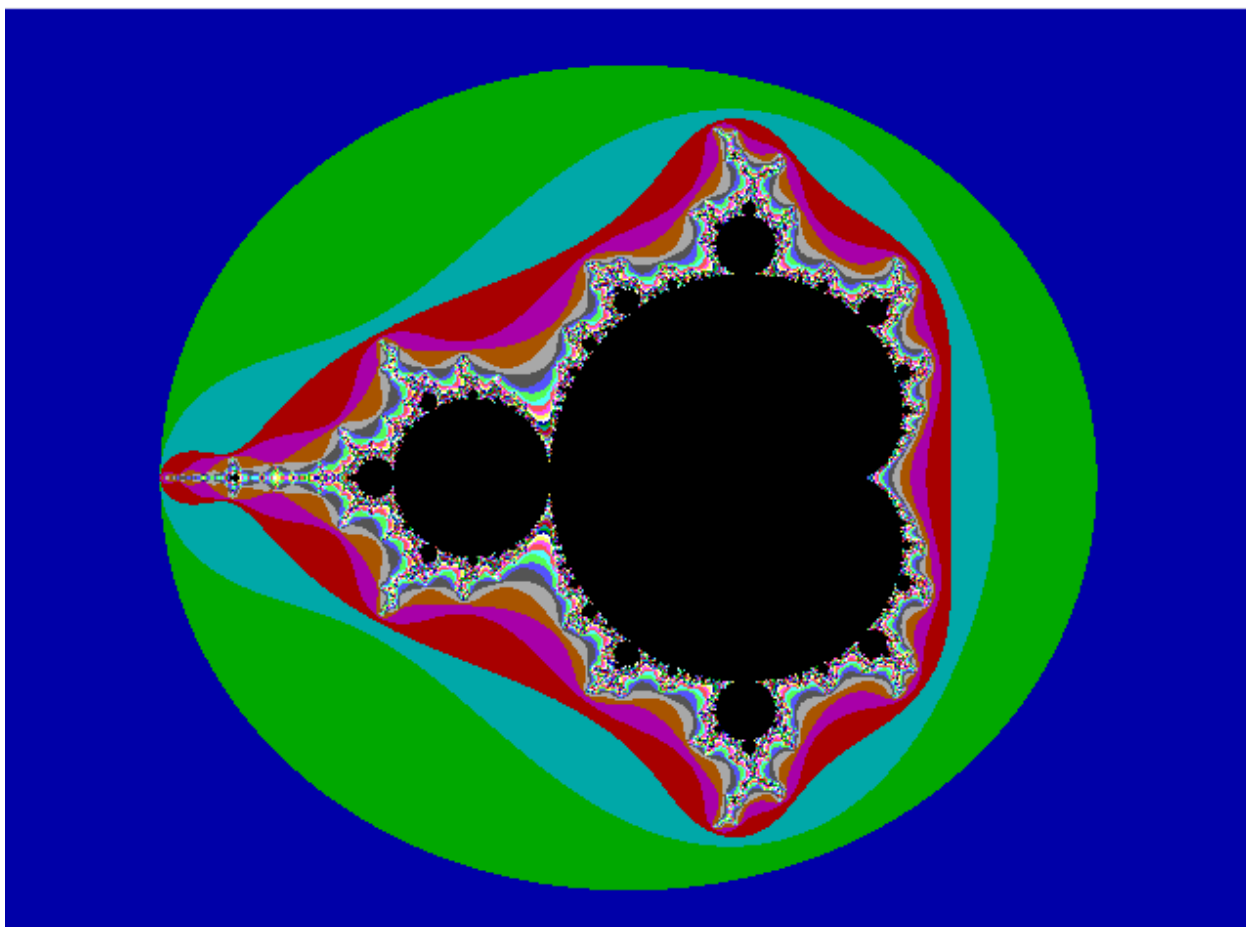
$$M = \{c \in \mathbb{C} : \{f_c^{(n)}(0)\}_{n=0}^{\infty} \text{ ограничена}\}$$

Множество Жюлиа функции f , обозначаемое как $J(f)$, определяется как

$$J(f) = \partial\{z : f^{(n)} \rightarrow \infty \text{ при } n \rightarrow \infty\}$$

Таким образом, множество Жюлиа функции f есть граница множества точек $f(z)$, стремящихся к бесконечности при итерировании $f(z)$.

Строго математически, изображения множеств Мандельброта и Жюлиа должны быть чёрно-белыми — точка либо принадлежит множеству, либо нет. Но были предложены варианты сделать изображения цветными. Самым распространённым способом является окрашивание точек около внешней границы множества в зависимости от количества итераций, за которое становится очевидным, что точка не принадлежит множеству (за которое начинает выполняться критерий $|z_n| > 2$).



На картинке виден классический фрактал множества Мандельброта: черный цвет в середине показывает, что в этих точках функция стремится к нулю —

это и есть множество Мандельброта. За пределами этого множества функция стремится к бесконечности. Границы множества являются фрактальными, функция ведет себя непредсказуемо – хаотично.

Точки, принадлежащие множеству Мандельброта, соответствуют связным множествам Жюлиа, а точки не принадлежащие — несвязным.

Когда произойдет выход за границу множества Мандельброта, сопутствующее ему множество Жюлиа как бы взорвется, превратившись в Канторову пыль. Эта пыль становится все мельче с удалением точки от множества Мандельброта.

5. Ход выполнения

Зададим параметр формулы mandel на ImaginaryPerturbation of $Z(0) = 0.05$ (по варианту).

Подбираем для формулы удобный вид с помощью клавиш позиционирования <PgUp> и <PgDown>, клавиш палитры <+> и <->; изображения приведены в пункте 6.

Неподвижная траектория — точка, при которой выполняется равенство $f(z) = z$.

$$\begin{aligned} f(z_{n+1}) &= z_{n+1}^2 + \Re(c) + i\Im(c) = (\Re(z_n) + i\Im(z_n))^2 + c = z_{n+1} \\ &= \Re(z_n) + i\Im(z_n) \end{aligned}$$

$$\begin{cases} \Re(z_n) = \Re(z_n)^2 - \Im(z_n)^2 + \Re(c) \\ \Im(z_n) = 2\Re(z_n)\Im(z_n) + \Im(c) \end{cases}$$

Подставим $z_n = 0.05i$:

$$\begin{cases} -0.05^2 + \Re(c) = 0 \\ \Im(c) = 0.05 \end{cases}$$

$c = 0.0025 + 0.05i$ – неподвижная точка.

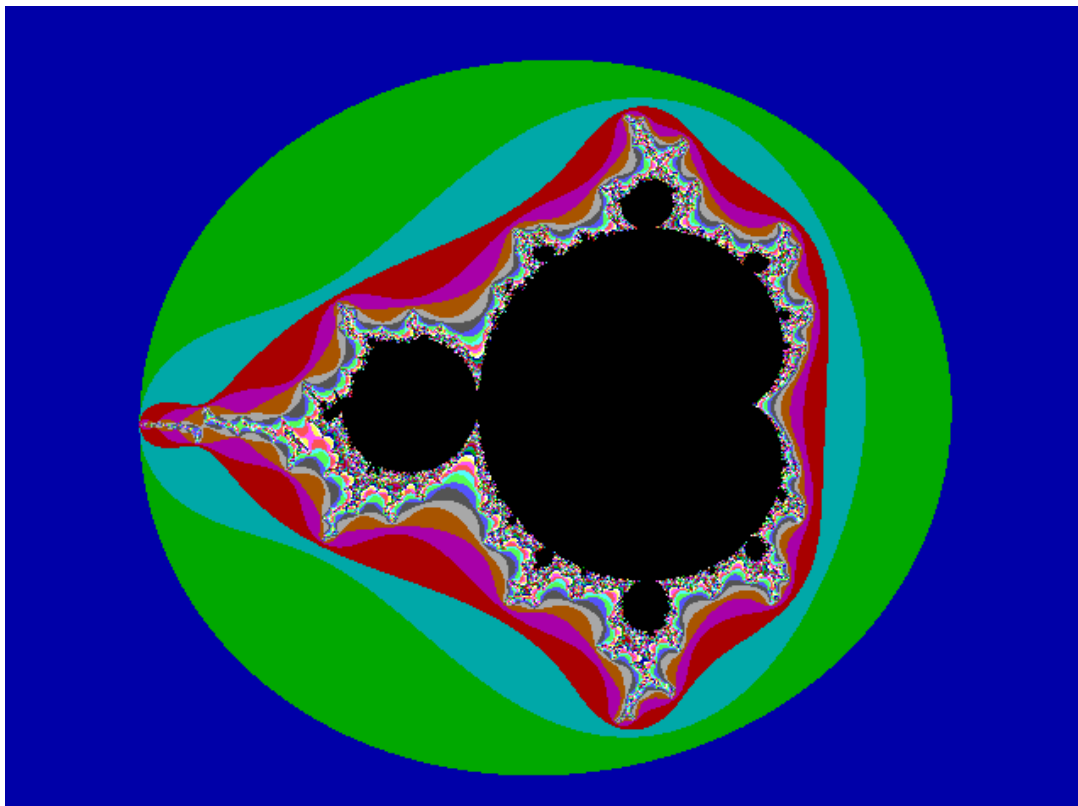
Рассмотрим точку, для которой последовательность ограничена — любая точка из множества Мандельброта. Например, точка $c = 0.2-0.3i$. Рассчитаем

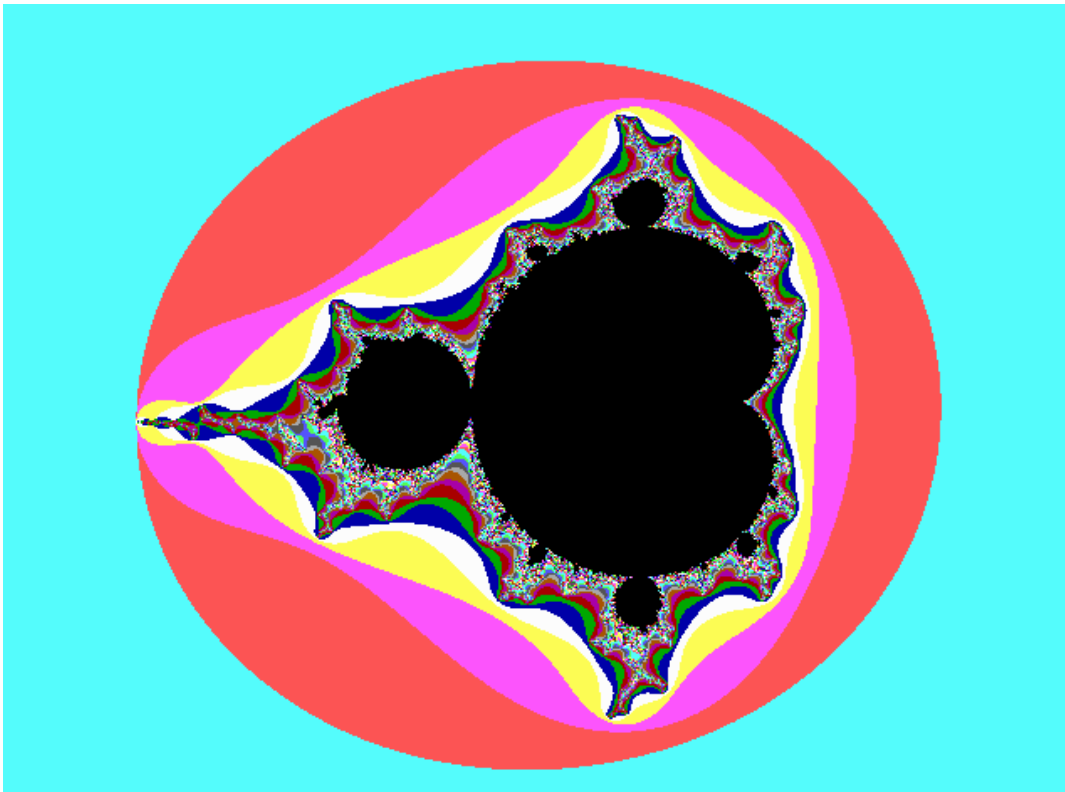
последовательность f для неё – запустим итерационный процесс до тех пор, пока полученные значения не будут лежать достаточно близко друг к другу:

```
it: 1 z: (0.1975-0.3j)
it: 2 z: (0.14900625-0.4185j)
it: 3 z: (0.04706061253906252-0.42471823124999997j)
it: 4 z: (0.021829125296423335-0.3399750002382644j)
it: 5 z: (0.0848935099241991-0.3148427137557052j)
...
it: 22 z: (0.07903139857594357-0.35655871106749615j)
it: 23 z: (0.07911184752275546-0.3563586672202j)
it: 24 z: (0.07926718471550649-0.3563843850890736j)
it: 25 z: (0.07927345663740512-0.3564991737651556j)
it: 26 z: (0.07919262003200396-0.3565218435854856j)
it: 27 z: (0.0791636461139399-0.3564677977843498j)
it: 28 z: (0.07919759200882903-0.3564385811896315j)
it: 29 z: (0.07922379641951943-0.3564581546585246j)
```

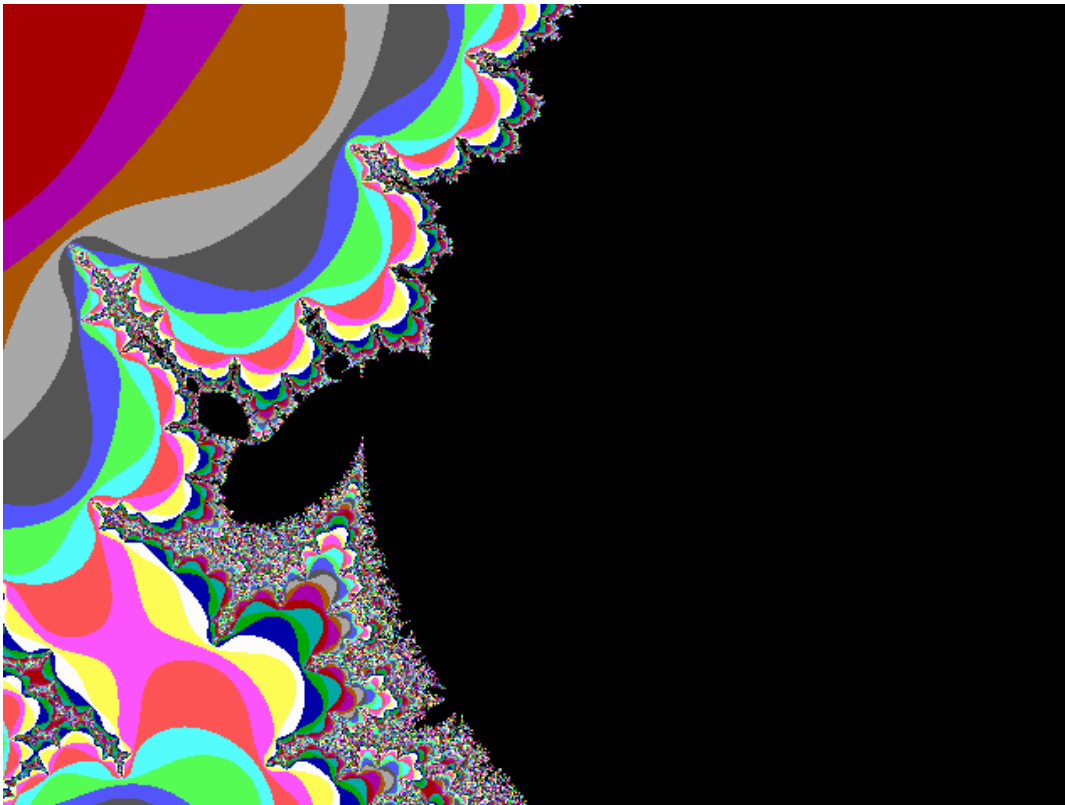
6. Результат

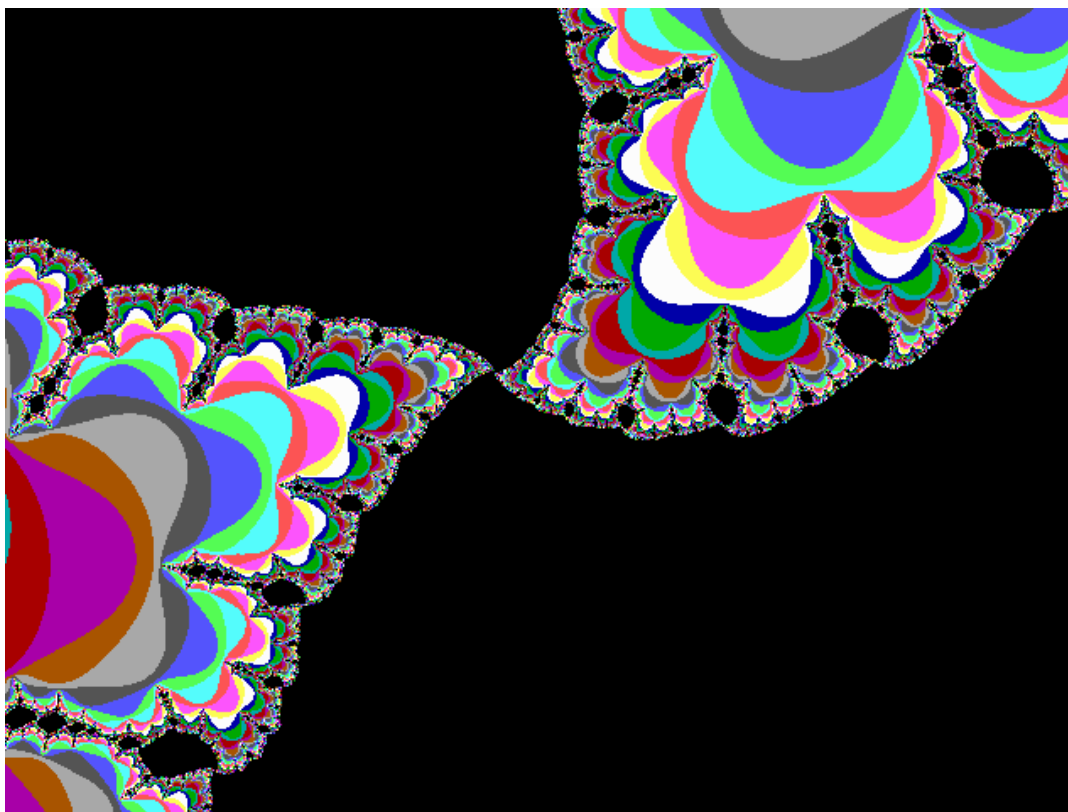
Множество Мандельброта — черные точки:





Множество Жюлиа — границы множества Мандельброта.





7. Вывод

В данной лабораторной работе был рассмотрен простейший фрактал — граница множества Мандельброта.

Итеративные системы функций. Фрактальная компрессия изображений

1. Цели

Ознакомиться с основными принципами работы фрактальной компрессии и декомпрессии.

2. Задание

В программе WinFact изучить формулу fern (папоротник) и аффинные преобразования для получения изображения папоротника. Вычислить текущий угол поворота левой ветви. Аффинным преобразованием повернуть левую ветвь папоротника на угол 10 градусов + номер по списку(по варианту: 11 градусов). В отчете привести изображение модифицированного папоротника и математические выкладки по расчету коэффициентов матрицы итеративной системы функций.

3. ПО

Fractint, запускаемый из эмулятора DOS "DOSBox".

4. Теория

Папоротник Барнсли - фрактал, названный в честь Майкла Барнсли, британского математика, который первым описал его в своей книге "Фракталы Повсюду". Является одним из основных примеров "самоподобных" множеств, т.е. представляет собой математически генерируемый "шаблон", воспроизводимый при любом увеличении или уменьшении количества итераций.

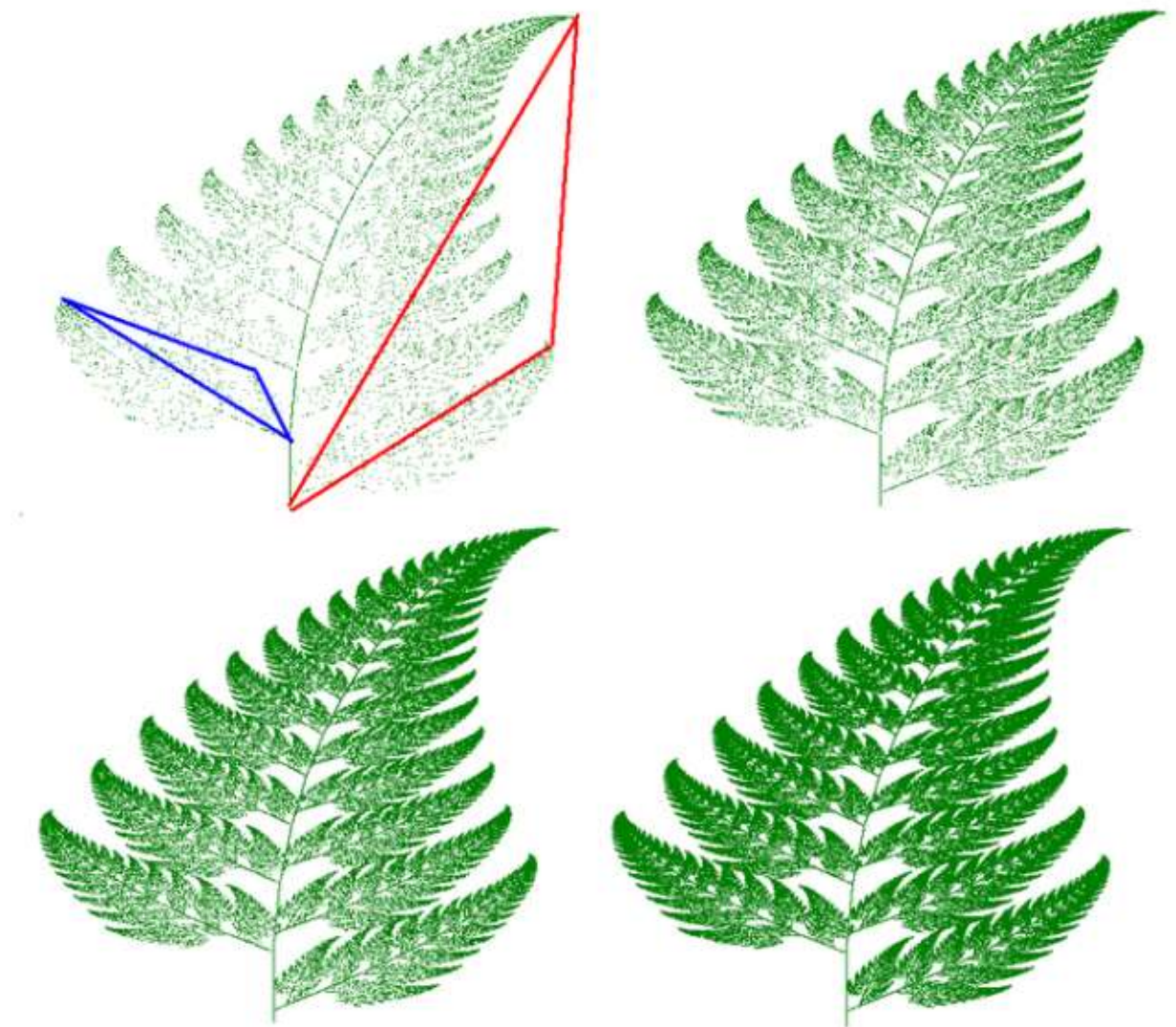
Папоротник Барнсли строится при помощи 4-х аффинных преобразований вида:

$$f(x, y) = \begin{bmatrix} a & b \\ c & d \end{bmatrix} \begin{bmatrix} x \\ y \end{bmatrix} + \begin{bmatrix} e \\ f \end{bmatrix}$$

w	a	b	c	d	e	f	p
---	---	---	---	---	---	---	---

$f1$	0	0	0	0.16	0	0	0.01
$f2$	0.85	0.04	-0.04	0.85	0	1.6	0.85
$f3$	0.2	-0.26	0.23	0.22	0	1.6	0.07
$f4$	-0.15	0.28	0.26	0.24	0	0.44	0.07

где столбцы a - f - коэффициенты уравнения, а p - коэффициент вероятности.



Первая точка находится в начале координат ($x_0 = 0, y_0 = 0$), а затем новые точки итеративно вычисляются путем случайного применения одного из следующих четырех преобразований координат:

- (1) $x_{n+1} = 0; y_{n+1} = 0.16 y_n$.

Данное преобразование выбирается в 1% случаев и указывает на точку у основания "стебля". Эта часть рисунка в результате итерационных преобразований завершается первой.

- (2) $x_{n+1} = 0.85 x_n + 0.04 y_n; y_{n+1} = -0.04 x_n + 0.85 y_n + 1.6.$

Преобразование (2) используется в 85% случаев и указывает на любую точку листовки попадающую в красный треугольник

- (3) $x_{n+1} = 0.2 x_n - 0.26 y_n; y_{n+1} = 0.23 x_n + 0.22 y_n + 1.6.$

Выбирается в 7% случаев - попадания точки в синий треугольник и симметричного ему относительно главного стебля треугольника.

- (4) $x_{n+1} = -0.15 x_n + 0.28 y_n; y_{n+1} = 0.26 x_n + 0.24 y_n + 0.44.$

В оставшихся 7% случаев используется преобразование (4) - для симметричных преобразованию (3) относительно стеблей 2-го порядка позиций.

5. Ход выполнения

Исходное изображение фрактала fern описывается следующим набором коэффициентов:

```
fern {
  0 0 0 .16 0 0 .01
  .85 .04 -.04 .85 0 1.6 .85
  .2 -.26 .23 .22 0 1.6 .07
  -.15 .28 .26 .24 0 .44 .07
}
```

Нас интересует только левая ветвь папоротника, преобразования которой описаны в 3 строке. Аффинные преобразования поворота и масштабирования описаны в первых 4 коэффициентах a, b, c, d :

$$A = \begin{pmatrix} a & b \\ c & d \end{pmatrix} = \begin{pmatrix} 0,2 & -0,26 \\ 0,23 & 0,22 \end{pmatrix}$$

Эта матрица является произведением матрицы поворота на матрицу масштабирования, т.е.

$$A = R \cdot S = \begin{pmatrix} \cos(\alpha) & -\sin(\alpha) \\ \sin(\alpha) & \cos(\alpha) \end{pmatrix} \cdot \begin{pmatrix} s_x & 0 \\ 0 & s_y \end{pmatrix} = \begin{pmatrix} \cos(\alpha) s_x & -\sin(\alpha) s_y \\ \sin(\alpha) s_x & \cos(\alpha) s_y \end{pmatrix}$$

Получаем следующую систему:

$$\begin{cases} \cos(\alpha) s_x = 0,2 \\ -\sin(\alpha) s_y = -0,26 \\ \sin(\alpha) s_x = 0,23 \\ \cos(\alpha) s_y = 0,22 \end{cases}$$

$$\begin{cases} \frac{\sin(\alpha)}{\cos(\alpha)} = \operatorname{tg}(\alpha) = \frac{0,23}{0,2} \Rightarrow \alpha \approx 48,99^\circ \\ \frac{\sin(\alpha)}{\cos(\alpha)} = \operatorname{tg}(\alpha) = \frac{0,26}{0,22} \Rightarrow \alpha \approx 49,76^\circ \end{cases}$$

Значения слегка различны, поэтому возьмем среднее: $\alpha = 49,375^\circ$

Вычислим значения матрицы масштабирования:

$$s_x = \frac{0,2}{\cos(\alpha)} = 0,307$$

$$s_y = \frac{0,26}{\sin(\alpha)} = 0,343$$

Для изменения папоротника необходимо пересчитать матрицу аффинных преобразований с углом $\tilde{\alpha} = 11^\circ$ ($10^\circ + \text{номер по списку}$):

$$\begin{aligned} A &= \begin{pmatrix} \cos(\tilde{\alpha}) s_x & -\sin(\tilde{\alpha}) s_y \\ \sin(\tilde{\alpha}) s_x & \cos(\tilde{\alpha}) s_y \end{pmatrix} = \begin{pmatrix} 0,981 \cdot 0,307 & -0,19 \cdot 0,343 \\ 0,19 \cdot 0,307 & 0,981 \cdot 0,343 \end{pmatrix} \\ &= \begin{pmatrix} 0,301 & -0,065 \\ 0,058 & 0,336 \end{pmatrix} \end{aligned}$$

Теперь папоротник будет описываться следующим набором коэффициентов:

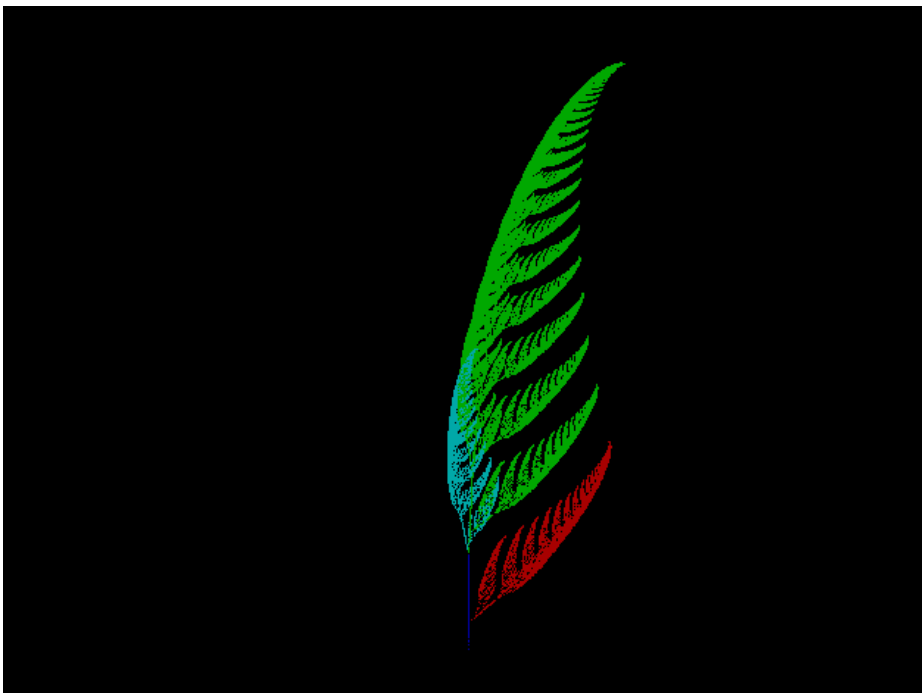
```
fern {
    0 0 0 .16 0 0 .01
    .85 .04 -.04 .85 0 1.6 .85
    .301 -.065 .058 .336 0 1.6 .07
    -.15 .28 .26 .24 0 .44 .07
}
```

6. Результат

Исходный лист папоротника:



Левая ветвь под углом 11 градусов:



7. Вывод

С помощью фрактального сжатия можно добиться очень малого коэффициента сжатия (например, для изображений в статье Барнсли он достигал 1:10000), однако время на архивацию требуется примерно в 1000

раз больше, чем на алгоритм JPEG, но при этом разархивирование выполняется в 5-10 раз быстрее. Поэтому, если изображение будет сжато только один раз, а передано по сети и распаковано множество раз, то выгодней использовать фрактальный алгоритм. Вытеснение JPEG фрактальным алгоритмом в повсеместном использовании произойдет еще не скоро, однако в области приложений мультимедиа, в компьютерных играх его использование вполне оправдано.